

京都大学防災研究所 正員 下島栄一・石原安雄

1.はじめに：本文は、底面と同じ円筒内に形成された上層が粗砂で下層が細砂の2層場への閉塞湛水浸透における擬似飽和域の発達について考察したものである。この擬似飽和域はあくまでも浸透水と隙間空気との交換機構は浸透過程において非常に重要な役割をもつものである。

2.実験結果の概要：図-1に示した3種類の気乾状態の砂を用い、層境界面と砂層表面が水平となるようにして上記の円筒に全層厚が16.9cmの2層柱立作り、その表面に常にほぼ1cmの湛水深( $P_w$ )があるようにして、実験の結果は既に報告したが、代表例を再記するところのようである。図-2は上層厚( $L_u$ )が64cmの上層がK-6砂で下層がK-7砂の場合(K-6・K-7系と記す)の浸透強度(?)と所層底部での空気圧の変化を示す。なお図中の“J”はwetting frontが層境界に達した時点を示す。図-3(1),(2)はそれより前回および $L_u=64\text{ cm}$ でK-5・K-7系の場合の水分分布の変化を示す。以上の図をどうやら、Wetting frontが下層早く進むにつれ、(1)浸透強度、空気圧の変化割合はほぼ一定の値になり、(2)水分分布は、上層ではほぼ全域が擬似飽和域となり、下層では層境界面より下方に発達した擬似飽和域とその下方のwetting frontの移動に伴う不飽和域の2段構造になる。(3)wetting frontはほぼ一定の形状と速度で移動する、という浸透特性が認められる。

3.考察：以下では2.で示した浸透特性が成立するような状況を対象にして擬似飽和域の存在範囲を検討する。その際、現象は隙間空気の間歇的な外界への放出に伴う不連続となるが、これを平均的にみて連続現象とみなし。まず図-4の水分分布の模式図に示すようにZ軸を浸透面を原点に重力方向を正符号にとり、上層全域および下層のある深さ( $Z=L_u+X_1$ )まで擬似飽和域が存在するものと考る。上層と下層の同域にあたる水と空気の運動がDarcy則的表現に従うとすると、層境で、水の流量流速( $V$ )と空気の流量流速( $V_a$ )は連続するので式をやわらめ、式②となる。

$$V_j = P_w \left( 1 - \frac{P_{a1} - P_{ao}}{X_{u1}} \right) = P_w \left( 1 - \frac{P_{a1} - P_{ai}}{X_{u1}} \right) \quad \text{①}, \quad V_{aj} = P_w \frac{P_{a1} + P_{ao}}{X_{u1}} = P_{a1} \frac{P_{a1} + P_{ai}}{X_{u1}} \quad \text{②}$$

$Z = F$ ,  $P_w, P_a$ ; 水と空気の圧力ポテンシャル、添字0, j, 2;  $X=0, L_u (= X_{u1}), L_u + X_1$  の値、 $R, R_a$ ; 渗水係数、透気係数に対応するもの、添字u, 1; 上層、下層での値(図-4参照)。また、式①、式②はそれを式③、式④と表わせる。

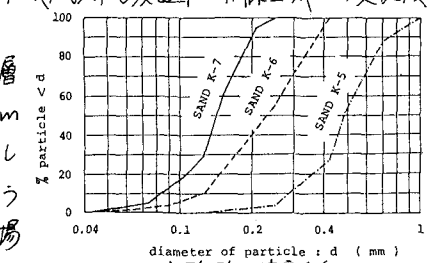


図-1. 実験砂の粒度分布

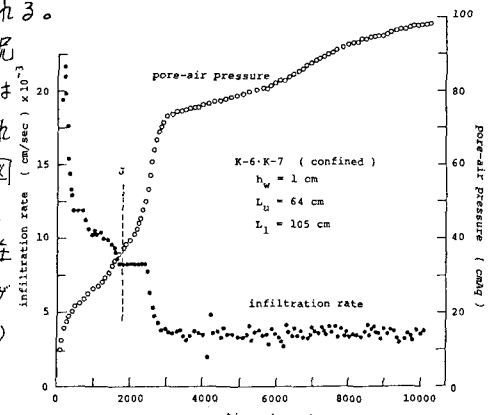


図-2. 浸透強度と空気圧の時間変化

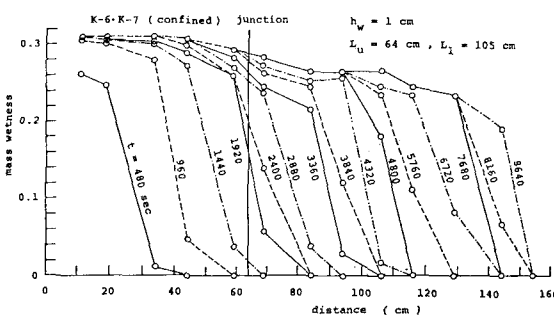


図-3(1). 水分分布の時間変化 (K-6・K-7系)

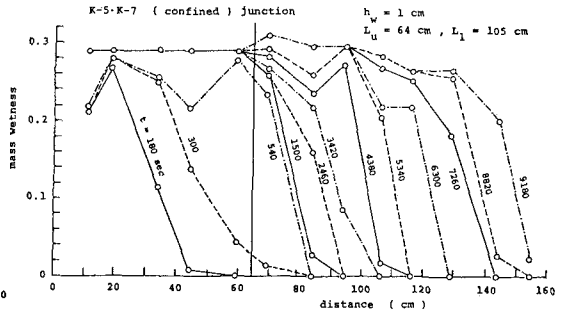


図-3(2). 水分分布の時間変化 (K-5・K-7系)

$$V_j = \frac{X_{u1} + X_{21} + P_{w2} - P_{ao}}{X_{u1}/R_u + X_{21}/R_i} \quad \dots \text{③}$$

$$V_{uj} = -\frac{P_{ao} - P_{wo}}{X_{u1}/R_u + X_{21}/R_i} \quad \dots \text{④}$$

$= \dots$ ,  $V_{uj} = -r(t) V_j \dots \text{⑤}$ ,  $P_{w2} = P_{ao} - P_{a2} + P_{a2} = \psi_{22} + P_{a2} \dots \text{⑥}$  とおき, もし(6)を考慮して式(5)へ式(3), 式(4)を代入すれば式(6)と一致。

$$P_{a2} = (1-\alpha_r^*) \cdot (X_{u1} + X_{21}) - (1-\alpha_r^*) \cdot \psi_{22} + \alpha_r^* R_u + (1-\alpha_r^*) P_{ao} \dots \text{⑦}$$

$$= \dots, \frac{1}{\alpha_r^*} = 1 + r \frac{R_u}{R_{a2}} \frac{X_{21} + (R_u/R_u) \cdot X_{u1}}{X_{u1} + (R_u/R_u) \cdot X_{u1}} \dots \text{⑧}$$

$\alpha_r^*$ をつぎのよう考こう。半層に付る土壤基本浸透(以下半層の場合と呼ぶ)の考察はよしと、(i)擬似飽和域の体積含水比( $\theta$ )はほぼ90%飽和の状態( $\theta = \theta_f$ )にあり、不飽和透水係数を  $K(\theta)$  と記すと  $\hat{K}$  は  $K(\theta_f)$  でほぼ代替できる、(ii)空気保有率  $K_a(\theta)$  は、

$$K_a(\theta) = K_s (\mu_w/\mu_a) \Phi(\theta) \dots \text{⑨} = \dots = K_s; 饱和透水係数, \mu_w, \mu_a; 水, 空気の粘性係数, の実際で与えられるが、$$

$\hat{K}_a$  は  $\hat{K}_a \approx K_a(\theta_f)/3$  = ほぼある, などである。そこで、飽和体積含水比を  $\theta_s$ (図-1の時はほぼ0.46)と記すと、(i)を考慮して  $\hat{K}_a/R_u \approx K_a(\theta_s)/K_a(\theta_u) \approx K_{a2}/K_{u1}$   $\dots \text{⑩}$  と近似する。 $= \dots, \theta_{u1}, K_{u1}; 上層での \theta_1, K_u$  は付くすもの、 $\theta_{a1}, K_{a1}; 下層での \theta_1, K_a$  は付くすもの。また、上層と下層での  $\Phi(\theta)$  がほぼ等しく仮定して(ii)を考慮すと、 $K_{a2}/K_{u1} \approx K_a(\theta_{u1})/K_a(\theta_{u1}) \approx K_{a2}/K_{u1}$   $\dots \text{⑪}$  となる。式⑩, 式⑪を式⑧へ代入し、

$P_{ao} \approx P_{wo} \approx P_{wo} \dots \text{⑫}$  の実際を考慮すと、 $\alpha_r^*$  は  $\alpha_r^* \approx \hat{K}_a / (\hat{K}_a + r \hat{K}_u) \dots \text{⑬}$  のように簡単化される。

ここで対象としている段階では  $r \approx 1 \dots \text{⑭}$  とおぼるので、この場合の  $\alpha_r^*$  を  $\alpha_r^* = \alpha_r^*$  と記す。

さて、以上の実際および  $(1-\alpha_r^*) \psi_{22} \approx \psi_{2e}$  (下層での water entry value はほぼ付く)  $\dots \text{⑮}$  の実際を式③に用い、同式は  $X_{21}$  を整理すとつぎのようになる。なお、 $f = V_j$  である。

$$X_{21} = \frac{-L_u (f_c / \alpha_r^* R_u - 1) - \psi_{2e} / (1-\alpha_r^*)}{f_c / \alpha_r^* \hat{K}_u - 1} \dots \text{⑯} = \dots = f, f \rightarrow f_c = \{K_c (1-A_s)\}_c \dots \text{⑰}$$

$$A_s = K_c / (K_c + K_{a2})$$

$\{K_c (1-A_s)\}_c$  は  $K_c (1-A_s)$  の最大値を意味し、浸透流量の下限値を与える(実験事実(2),(3)より)。 $X_{21} > 0$  であるので、 $f_c \geq f_c / \alpha_r^* \hat{K}_u \geq f_c / \alpha_r^* \hat{K}_u \leq 1 - \psi_{2e} / (1-\alpha_r^*) L_u \dots \text{⑯}$  が条件となる。K-6・K-7系の場合  $f_c \approx 3.5 \times 10^{-3} cm/sec$ ,  $\alpha_r^* \approx 0.3$ ,  $\hat{K}_u \approx 5.2 \times 10^{-3} cm/sec$ ,  $R_u \approx 1.6 \times 10^{-2} cm/sec$  であり、K-5・K-7系の場合も同様式⑯の上位の条件を満す。

さて、式⑯で  $X_{21}$  の特性を調べるために  $\partial X_{21} / \partial R_u$ ,  $\partial X_{21} / \partial L_u$  を算出すると、それから式⑦, 式⑧となる。

$$\frac{\partial X_{21}}{\partial R_u} = \frac{L_u f_c}{\alpha_r^* R_u^2 (f_c / \alpha_r^* \hat{K}_u - 1)} \dots \text{⑯}$$

$$\frac{\partial X_{21}}{\partial L_u} = -\frac{f_c / \alpha_r^* \hat{K}_u - 1}{f_c / \alpha_r^* \hat{K}_u - 1} \dots \text{⑯}$$

式⑯は前述通り、 $\alpha_r^* / R_u > 0 \dots \text{⑯}$  となる。一方式⑯は  $\hat{K}_u > \hat{K}_u$  を考慮すと  $\alpha_r^* \hat{K}_u > f_c > \alpha_r^* \hat{K}_u \Rightarrow \frac{\partial X_{21}}{\partial L_u} > 0 \dots \text{⑯}$ ,  $\alpha_r^* \hat{K}_u \{1 - \psi_{2e} / (1-\alpha_r^*) L_u\} > f_c > \alpha_r^* \hat{K}_u \Rightarrow \frac{\partial X_{21}}{\partial R_u} < 0 \dots \text{⑯}$  となる。本実験では  $\frac{\partial X_{21}}{\partial L_u} > 0$  となるが、 $X_{21} / \partial L_u < 0$  が成立すときは上・下層の筋が非常に近い場合であろう。つまり、下層の筋は半層の場合の擬似飽和域の最大の厚さ( $X_1$ )は式⑯で与えられることはできないので、式⑯から同式を差引くと式⑯となる。

$$X_1 = -\frac{\psi_{2e} / (1-\alpha_r^*)}{f_c / \alpha_r^* \hat{K}_u - 1} \dots \text{⑯}$$

$$X_{21} - X_1 = L_u \frac{1 - f_c / \alpha_r^* \hat{K}_u}{f_c / \alpha_r^* \hat{K}_u - 1} \dots \text{⑯}$$

式⑯より、 $\alpha_r^* \hat{K}_u > f_c \Rightarrow X_1 > X_1 \dots \text{⑯}$ ,  $\alpha_r^* \hat{K}_u \{1 - \psi_{2e} / (1-\alpha_r^*) L_u\} > f_c > \alpha_r^* \hat{K}_u \Rightarrow X_{21} < X_1 \dots \text{⑯}$  となる。

本実験では  $X_{21} > X_1$  が成立すが、 $X_{21} < X_1$  のときは式⑯が成立す場合と同様である。

最後に、図-3(1),(2)の水分分布に注目する。K-6・K-7系, K-5・K-7系での式⑯の右辺の値はそれぞれ  $0.2 L_u$ ,  $0.7 L_u$  となるが、 $X_1 \approx 20 cm \dots \text{⑯}$  であるので  $L_u = 64 cm$  とすと  $X_{21} \approx 33 cm$ ,  $64 cm$  となる。これらの値は図-3より予想される  $X_{21}$  は  $20 cm$  程度大きいが、 $L_u$  を固定(64cm)したとき K-5・K-7系は K-6・K-7系より、また K-5・K-7系は下層の半層の場合より下層の擬似飽和域はよく発達しており、上記の理論的な考察の妥当性が保証される。<sup>1) 石原・下島: 土壌防災研究, 1979, 2) 石原・下島: 土壤防災研究, 1982, 3) 石原・下島: 土壤防災研究, 1977.</sup>

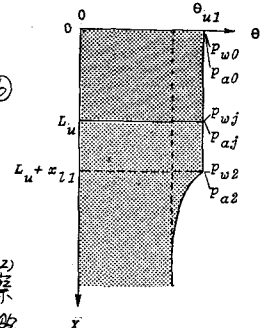


図-4. 水分分布の模式図